



UNIVERSITÀ  
DEGLI STUDI  
DI PADOVA

# ANALISI MATEMATICA III

Lauree in Fisica e Astronomia – A.A. 2024/25

Corrado Marastoni

Lezione di giovedì 07/11/2024

(detto anche TEORIA DEL ROTORE)

Terminiamo con le FORMULE DI KELVIN-STOKES, che generano le formule di Green al caso di superfici in  $\mathbb{R}^3$ .

Ter. (Formula di KELVIN-STOKES, o TEORIA DEL ROTORE)

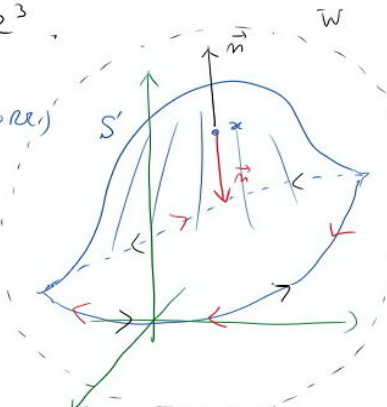
Sia  $W$  aperto di  $\mathbb{R}^3$ , e sia  $S$  una superficie bordata orientata compatta.

Sia poi  $F: W \rightarrow \mathbb{R}^3$  un campo di classe  $C^1$ .

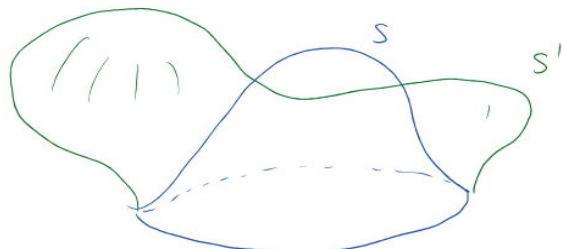
Altre

$$\oint_{+\partial S} \vec{F} \cdot d\vec{x} = \Phi_S (\nabla \times F)$$

(si intende su  $+\partial S$  che l'ordine di  $\partial S$  deve essere coerente con quella scelta per  $S$ , vedi figura)

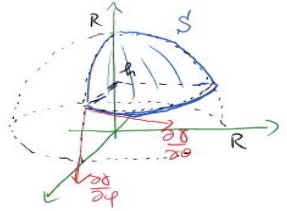


Una conseguenza immediata del T. Rotore è che  $S'$  può essere sostituita, nel calcolo del flusso del rotore  $\Phi_S (\nabla \times F)$ , da una QUALSIASI ALTRA SUPERFICIE  $S'$  che abbia  $\partial S$  come bordo: il risultato non cambierà, sarà sempre lo stesso  $\oint_{+\partial S} \vec{F} \cdot d\vec{x}$ .



(Le dim. non le diamo a lezione, si trova sempre nelle note:  
l'idea è di usare una parametrizzazione di  $S$  per condurci  
a un aperto di  $\mathbb{R}^2$ , e lì applicare Green.)

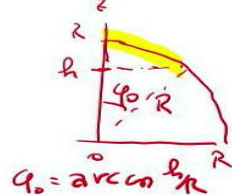
Ex. Verificare la formula di Kelvin-Stokes per il campo  
 $F = (-1, 0, x^2)$  e la porzione di sfera  
 sferica  $\{x^2 + y^2 = R^2, z \geq h\}$  contenuta nel I<sup>o</sup> ottante.



$$F = (1, 0, x^2)$$

$$\gamma(\theta, \varphi) = (R \cos \theta \sin \varphi, R \sin \theta \sin \varphi, R \cos \varphi) \quad \text{(normale all'origine)} \\ \text{in } 0 \leq \theta \leq \pi/2 \text{ e } 0 \leq \varphi \leq \varphi_0. \quad \text{ENTRANTE}$$

$$\nabla \times F = \begin{vmatrix} \hat{e}_1 & \hat{e}_2 & \hat{e}_3 \\ \frac{\partial}{\partial x} & \frac{\partial}{\partial y} & \frac{\partial}{\partial z} \\ 1 & 0 & x^2 \end{vmatrix} = (0, -2x, 0)$$

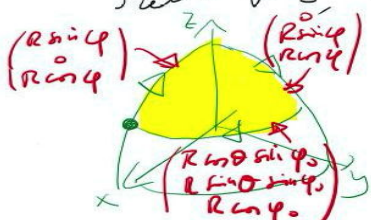


$$\varphi_0 = \arccos \frac{l}{R}$$

$$\Phi_S(\nabla \times F) = \int_0^{\pi/2} d\theta \int_0^{\varphi_0} \det \begin{pmatrix} 0 & -R \sin \theta \sin \varphi & R \cos \theta \sin \varphi \\ -2R \cos \theta \sin \varphi & 0 & R \sin \theta \cos \varphi \\ R \sin \theta \cos \varphi & -R \cos \theta \cos \varphi & 0 \end{pmatrix} d\varphi$$

$$= \int_0^{\pi/2} d\theta \int_0^{\varphi_0} 2R \cos \theta \sin \varphi - R^2 \sin \theta \sin^2 \varphi d\varphi = 2R^3 \int_0^{\pi/2} d\theta \int_0^{\varphi_0} \sin \varphi (1 - \sin^2 \varphi) d\varphi \\ = 2R^3 \cdot \left( -\frac{\sin 2\theta}{2} \right) \Big|_0^{\pi/2} \cdot \left( -\cos \varphi + \frac{1}{3} \cos^3 \varphi \right) \Big|_0^{\varphi_0} = 2R^3 \left( \frac{1}{2} + \frac{1}{4} \right) \cdot \left( \frac{h}{R} \cdot \left( \frac{1 - \frac{h^2}{R^2}}{3} - 1 \right) \right) \\ = R^3 \left( \frac{h^3}{3R^3} - \frac{h}{R} + \frac{2}{3} \right) = \frac{h^3 - hR + 2R^3}{3}$$

Dobbiamo ora calcolare la circolazione di  $F$   
 lungo il bordo di  $S$  (verso i sentiti orari) (indico dell'origine  
 verso il  $S$  che ha la normale entrante).



$$\oint_{+DS} F \cdot d\vec{x} = \int_{\varphi_0}^0 (1, 0, R^2 \sin^2 \varphi) \cdot (R \cos \varphi, 0, -R \sin \varphi) d\varphi + \\ + \int_{\varphi_0}^0 (1, 0, 0) \cdot (0, R \cos \varphi, -R \sin \varphi) d\varphi + \\ + \int_{\pi/2}^{\varphi_0} (1, 0, R^2 \cos^2 \theta \sin^2 \varphi) \cdot (-R \sin \theta \sin \varphi, R \cos \theta \sin \varphi, 0) d\theta$$

$$= \int_{\varphi_0}^0 (R \cos \varphi - R^3 \sin^3 \varphi) d\varphi + 0 + \int_{\pi/2}^{\varphi_0} (-R \sin \theta \sin \varphi_0) d\theta \\ = \left( R \sin \varphi - R^3 \left( -\cos \varphi + \frac{1}{3} \cos^3 \varphi \right) \right) \Big|_{\varphi_0}^0 - R \sin \varphi_0 (-\cos \varphi_0) \Big|_{\pi/2}^{\varphi_0} \\ = -R^3 \left( -\frac{2}{3} \right) - \left( R \sin \varphi_0 - R^3 \left( -\frac{h}{R} + \frac{h^3}{3R^3} \right) \right) - R \sin \varphi_0 (-1)$$

$$= \frac{2}{3} R^3 - hR^2 + \frac{h^3}{3}, \text{ come prima.}$$

Dunque la formula di Kelvin-Stokes nella verifica.

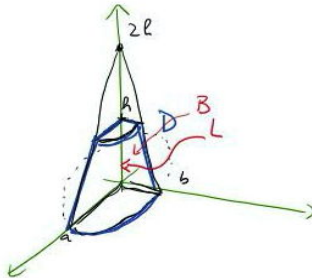
### Analisi Matematica III (Fisica e Astronomia)

Esame Scritto (25/01/2016)

Università di Padova - Lauree in Fisica ed Astronomia - A.A. 2015/16

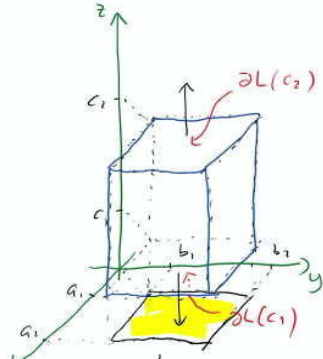
Cognome-Nome \_\_\_\_\_ Mattr. \_\_\_\_\_  
IN STAMPATELLO \_\_\_\_\_ - \_\_\_\_\_  
FIS / AST

1. Sia  $\Gamma$  l'insieme di livello di  $g(x, y, z) = (xz^2 - y, 2z - \log(y - x))$  che contiene il punto  $A(1, 2, 0)$ .
  - (a) Mostrare che  $\Gamma$  è una varietà regolare all'intorno di  $A$  (di che dimensione?), e determinarne una parametrizzazione locale e lo spazio tangente affine in  $A$ .
  - (b) Dire rispetto a quale coordinata il punto  $A$  è stazionario in  $\Gamma$ , determinandone la natura.
  - (c) Quali insiemi di livello di  $g$  sono varietà regolari? Di che dimensione? E quelli di  $g_1$ ? E di  $g_2$ ?
2. (a) Dire se  $f(x, y) = \frac{x}{x-y}$  è integrabile sugli insiemi  $A = \{(x, y) : 0 < 2y < x \leq 1\}$ ,  $B = \{(x, y) : x^2 + y^2 < R^2, x > 0, y > 0\}$  o  $C = \{x \geq 1, -\frac{1}{x^2} < y \leq 0\}$ , se sì calcolando l'integrale.
   
(b) La *cicloide* è la curva piana disegnata da una matita fissata sul bordo di un disco che, partendo con la matita in  $(0, 0)$ , rotola senza strisciare per un giro sull'asse  $x$ . Descriverla parametricamente (il raggio del disco sia  $R$ ), e calcolare area e baricentro della zona tra essa e l'asse  $x$ .
3. Si consideri il cono avente vertice a quota  $2h$  sull'asse  $z$  e base il quarto di ellisse nel primo quadrante del piano  $(x, y)$  di semiassi  $a$  e  $b$ , e sia  $D$  il solido ottenuto troncando il cono a quota  $h$ . Siano poi  $L$  la porzione di superficie esterna di  $D$  non piana, e  $B$  quella sul piano  $(y, z)$ .
  - (a) Calcolare il volume di  $D$ .
  - (b) Verificare la formula di Stokes per  $B$  e per il campo  $F = (z - x, y, 0)$ .
  - (c) Calcolare il flusso di  $F$  uscente da  $L$  col teorema di Gauss; e, se possibile, anche direttamente.
  - (d) Impostare il calcolo dell'area di  $L$ , e terminarlo nel caso in cui  $a = b$ .



Diamo le dimostrazioni del Teorema di Gauss (T. Divergenza) in due casi in cui il dominio composto è in  $\mathbb{R}^3$  e di facile soluzione.

(1) Dominio parallelepipedo:  $L = [a_1, a_2] \times [b_1, b_2] \times [c_1, c_2]$ .



$$G = (G_1, G_2, G_3).$$

$$\Phi_{\partial L(c_1) \cup \partial L(c_2)}(G) := \int_{\partial L(c_2)} (G \cdot n) d\sigma + \int_{\partial L(c_1)} (G \cdot n) d\sigma$$

$$:= \int_{L(x,y)} G_3(x, y, c_2) dx dy - \int_{L(x,y)} G_3(x, y, c_1) dx dy$$

$$:= \int_{L(x,y)} (G_3(x, y, c_2) - G_3(x, y, c_1)) dx dy$$

Fattori

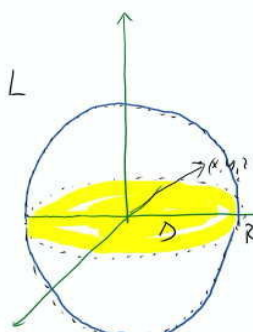
$$:= \int_{L(x,y)} \left( \int_{c_1}^{c_2} \frac{\partial G_3}{\partial z}(x, y, z) dz \right) dx dy \stackrel{\downarrow}{=} \int_L \frac{\partial G_3}{\partial z}(x, y, z) dx dy dz$$

Dai simili analoghi per le altre coppe di facce restanti

$$\int_L \frac{\partial G_1}{\partial x} dx dy dz \text{ e } \int_L \frac{\partial G_2}{\partial y} dx dy dz; \text{ sommando membri a membro}$$

le tre uguaglianze si ottiene il T. Gauss.

(2) Dominio: palla di raggio  $R$  (poniamo forse, a meno di una traslazione - che c'è un difetto! - che il centro sia  $O(0,0,0)$ )



$$G = (G_1, G_2, G_3), = G' + G'' + G'''$$

$$\text{ove } G' = (G_1, 0, 0), G'' = (0, G_2, 0), G''' = (0, 0, G_3)$$

Iniziamo calcolando il flusso uscente di  $G'''$

$$\text{da } \partial L = \{x^2 + y^2 + z^2 = R^2\}.$$

Il vettore normale uscente a  $\partial L$  nel punto

$$(x, y, z) \in \partial L \text{ è } \vec{n} : \frac{1}{R}(x, y, z) = \left(\frac{x}{R}, \frac{y}{R}, \frac{z}{R}\right).$$

Parametrizziamo cartesianamente gli emisferi superiore e inferiore  $\partial L^\pm$  con

$$\gamma(x, y) = (x, y, \pm z_{x,y}) \text{ ove } z_{x,y} = \sqrt{R^2 - x^2 - y^2} \text{ e } (x, y) \in D = \{x^2 + y^2 \leq R^2\}$$

$$\Phi_{\partial L}(G'''') = \Phi_{\partial L^+}(G''') + \Phi_{\partial L^-}(G''') = \int_{\partial L^+} G''' \cdot \vec{n} d\sigma + \int_{\partial L^-} G''' \cdot \vec{n} d\sigma$$

$$= \frac{R}{|z_{x,y}|} dx dy$$

$$\begin{aligned}
&= \int_D G_3(x, y, z_{x,y}) \cdot \frac{\partial}{\partial z} \frac{R}{|z|} dz dy + \int_D G_3(x, y, -z_{x,y}) \cdot \frac{\partial}{\partial z} \frac{R}{|z|} dz dy \\
&= \int_D (G_3(x, y, z_{x,y}) - G_3(x, y, -z_{x,y})) dz dy \\
&= \int_D \left( \int_{-z_{x,y}}^{z_{x,y}} \frac{\partial G_3}{\partial z}(x, y, z) dz \right) dx dy = \int_L \frac{\partial G_3}{\partial z}(x, y, z) dx dy dz
\end{aligned}$$

Facendo gli analoghi conti per  $G'$  e  $G''$  e sommando, si ottiene il T. Gauss. //

Continuiamo con le prove d'esame scritte del 25/11/2015.

(1. a.) Funzione  $g(x, y, z) = (xz^2 - y, 2z - \ln(y-x))$  A ( $1, 2, -$ )

Dominio di  $g$ :  $\{(x, y, z) : y > x\}$

$$J_g = \begin{pmatrix} z^2 & -1 & 2xz \\ \frac{1}{y-x} & -\frac{1}{y-x} & 2 \end{pmatrix}, \quad J_g(A) = \begin{pmatrix} 0 & -1 & 0 \\ 1 & -1 & 2 \end{pmatrix}.$$

$\text{rk } J_g(A) = 2$  (max)  $\Rightarrow g$  sommabile su  $A \Rightarrow \Gamma$  curva regolare all'interno di  $A$ .

$$\Gamma = \{(x, y, z) : g(x, y, z) = g(A) = (-2, 0)\} = \begin{cases} xz^2 - y = -2 \\ 2z - \ln(y-x) = 0 \end{cases}$$

$$\text{Retta } g \text{ affe a } \Gamma \text{ in } A: \begin{pmatrix} 0 & -1 & 0 \\ 1 & -1 & 2 \end{pmatrix} \begin{pmatrix} x-1 \\ y-2 \\ z-0 \end{pmatrix} = \begin{pmatrix} 0 \\ 0 \\ 0 \end{pmatrix}$$

$$\text{ovvero } \begin{cases} y=2 \\ x+2z=1 \end{cases}.$$

$$\text{Param. di } \Gamma \text{ attraverso } A: J_g(A) = \begin{pmatrix} 0 & -1 & 0 \\ 1 & -1 & 2 \end{pmatrix}$$

Postiamo esplicitamente  $(x(z), y(z))$  oltre che  $(y(x), z(x))$

ma non  $(x(z), z(z))$ . Ad es.,  $(x(z), y(z))$

$$(x(0), y(0)) = (1, 2), \quad \begin{pmatrix} x(0) \\ y(0) \end{pmatrix} = - \begin{pmatrix} 0 & -1 \\ 1 & -1 \end{pmatrix}^{-1} \begin{pmatrix} 0 \\ 2 \end{pmatrix} = - \begin{pmatrix} -1 & 1 \\ -1 & 0 \end{pmatrix} \begin{pmatrix} 0 \\ 2 \end{pmatrix} = \begin{pmatrix} -2 \\ 0 \end{pmatrix}$$

Stesso, dovranno le equazioni h.s.p.  $z$ :

$$\begin{cases} xz^2 + x \cdot 2z - y = 0 \\ 2 - \frac{y-x}{y-x} = 0 \end{cases} \xrightarrow{z=0} \begin{cases} 0 + 0 - y(0) = 0 \\ 2 - \frac{y(0)-x(0)}{2-1} = 0 \end{cases} \Rightarrow \begin{cases} y(0) = -2 \\ y(0) = 0 \end{cases}$$

Calcolare subito  $x(0)$ ,  $y(0)$ .

$$\begin{cases} xz^2 + x \cdot 2z + x \cdot 2z + 2x - y = 0 \\ - \frac{(y-x)(y-x) - (y-x)^2}{(y-x)^2} = 0 \end{cases} \xrightarrow{z=0} \dots \begin{cases} x(0) = -2 \\ y(0) = 2 \end{cases}$$

(1.b) Condizione affatto A sia sfaccinata n.s.p. a  $f(x,y,z) = x$ :

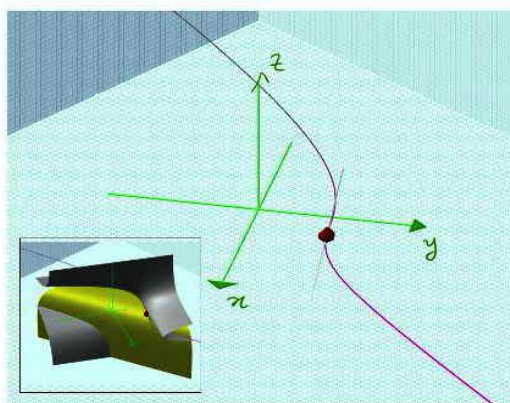
$$RK \begin{pmatrix} \nabla f \\ \nabla g_1(A) \\ \nabla g_2(A) \end{pmatrix} \begin{pmatrix} 100 & 010 & 001 \\ 0 & -1 & 0 \\ 1 & -1 & 2 \end{pmatrix} \begin{matrix} \leftarrow f=x \\ \leftarrow f=y \\ \leftarrow f=z \end{matrix} < 3.$$

L'unico minore di  $J_g(A)$  possibile è quell' n.s.p.  $x = z$

$\Rightarrow A$  è sfaccinato su  $\Gamma$  n.s.p. alle coordinate  $y$ .

(si vedeva anche del fatto che, in  $y(z)$ , si aveva  $y'(z) = 0$ ).

E dunque  $y'(z) = 2 > 0 \Rightarrow A$  può dimostrare essere  $f(y)$  s.p.



Dal disegno si intuisce che il punto  $A$  (rosso) è un punto di minimo relativo strettamente nelle coordinate  $y$  sulla curva  $\Gamma$ : in effetti a prima vista sembra una sella, ma guardando un po' meglio si nota invece che è di minimo locale per  $y$  (qui a destra si schiera un ingrandimento della figura).

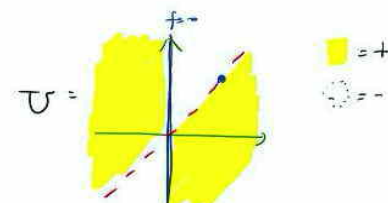


$$(1.c) J_g = \begin{pmatrix} z^2 & -1 & 2xz \\ \frac{1}{y-x} & -\frac{1}{y-x} & 2 \end{pmatrix}. \quad RK J_g < 2 \Leftrightarrow \begin{cases} z^2 = 1 \\ \frac{xz}{y-x} = 1 \end{cases}$$

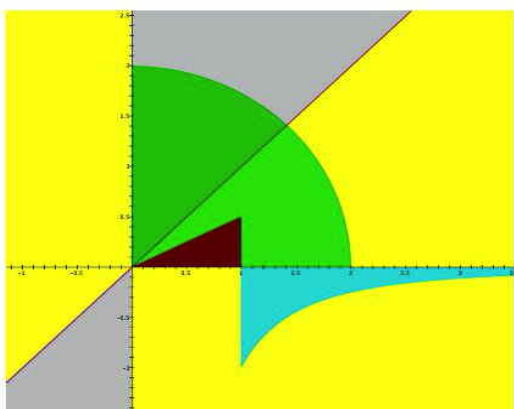
$\checkmark z=1 \Rightarrow x=y-x \Rightarrow y=2x$  Punti  $(2, 2\alpha, 1)$  ;  $g(2, 2\alpha, 1) = (-2, 2 - \log 2)$  con  $\alpha > 0$

$\checkmark z=-1 \Rightarrow -x=y-x \Rightarrow y=\alpha$  Punti  $(\beta, 0, -1)$  ;  $g(\beta, 0, -1) = (\beta, -2 - \log(-\beta))$  con  $\beta < 0$

(2.a)  $f(x,y) = \frac{x}{x-y} \quad f: U \rightarrow \mathbb{R}$



Per il triangolo rombo  $A$ , contenuto due  $f > 0$ , per  $T+F$  basta calcolare un integrale iterativo e vedere cosa succede.



$$\int_0^1 \int_0^{x_2} \frac{x}{x-y} dx dy = \int_0^1 x \left[ -\log(x-y) \right]_{y=0}^{y=x_2} dx$$

$$\int_0^1 x \left( -\log \frac{x}{2} + \log x \right) dx = \int_0^1 x \log \frac{x}{2} dx = \frac{1}{2} \log 2 \quad (f \in C^1(\Lambda))$$

In  $B$  (verde): siamo di fronte  $f(x,y) = \frac{x}{x-y}$  non ha segno costante.

Vediamo cosa accade su  $B^\pm$ : infatti  $f \in L^1(B) \iff \begin{cases} f \in L^1(B^+) \\ f \in L^1(B^-) \end{cases}$   
 e se si vale  $\int_B f = \int_{B^+} f + \int_{B^-} f$

Vantaggi di trasformazione su  $B^\pm$ : lì per T+F si può calcolare un integrale iterato e altrimenti cosa succede.

$$\int_{B^+} \frac{x}{x-y} dx dy = \int_0^{\pi/4} d\theta \int_0^R \frac{\rho \cos \theta}{\sqrt{\rho^2 - \rho^2 \cos^2 \theta}} \rho d\rho d\theta = \frac{R^2}{2} \int_0^{\pi/4} \frac{\cos \theta}{\cos \theta - \sin \theta} d\theta \underset{\text{tecnica } (\pi/4 - \theta)}{\sim} \frac{1}{\pi/4 - \theta} \text{ non integrabile}$$

che però diverge a  $+\infty$  ( $\frac{\cos \theta}{\cos \theta - \sin \theta} \underset{\pi/4 - \theta}{\sim} \frac{\sqrt{2}/2}{\sqrt{2} \sin(\pi/4 - \theta)} \underset{\pi/4 - \theta}{\sim} \frac{1}{\pi/4 - \theta}$  non integrabile)

Dunque  $f \notin L^1(B^+)$   $\Rightarrow f \notin L^1(B)$ .

Vediamo ora per  $C = \{x > 1, -\frac{1}{x^2} \leq y \leq 0\}$  (azzurro). Il limite è

Ma su  $C$  la funzione è  $> 0$ . Dunque F-T calcola un int. iterato.

$$\begin{aligned} \int_1^{+\infty} dx \int_{-\frac{1}{x^2}}^0 \frac{x}{x-y} dy &= \int_1^{+\infty} x \left[ -\ln(x-y) \right]_{y=-\frac{1}{x^2}}^{y=0} dx = \int_1^{+\infty} x \left( -\ln x + \ln \left( x + \frac{1}{x^2} \right) \right) dx \\ &= \int_1^{+\infty} x \cdot \ln \left( 1 + \frac{1}{x^3} \right) dx \quad \text{dove la funzione } \sim x \cdot \frac{1}{x^2} = \frac{1}{x} \text{ integrabile!} \end{aligned}$$

Dunque  $f \in L^1(C)$ . Calcoli:  $\int x \ln \left( 1 + \frac{1}{x^3} \right) = \frac{x^2}{2} \ln \left( 1 + \frac{1}{x^3} \right) - \int \frac{x^2}{2} \cdot \frac{-3x^2}{1+x^3} dx$

$$= \frac{x^2}{2} \ln \left( 1 + \frac{1}{x^3} \right) + \frac{3}{2} \int \frac{x}{x^3+1} dx \quad \text{e l'int. diventa}$$

$$\frac{x}{x^3+1} = \frac{A}{x+1} + \frac{Bx+C}{x^2-x+1} = \frac{A(x^2-x+1)+(x+1)(Bx+C)}{(x+1)(x^2-x+1)} = \dots$$

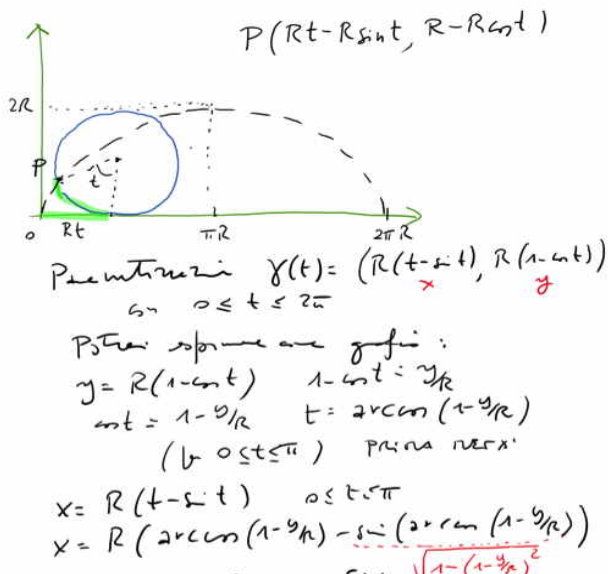
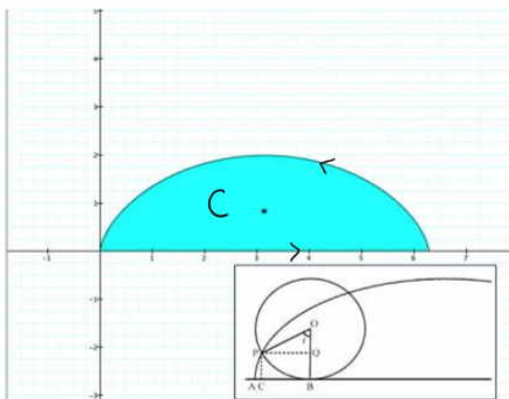
Alla fine otteniamo le formule

$$\frac{1}{2} \left( x^2 \ln \left( 1 + \frac{1}{x^3} \right) + \ln \frac{\sqrt{x^2-x+1}}{x+1} + \sqrt{3} \arctg \left( \frac{\sqrt{3}}{\sqrt{3}} \left( x - \frac{1}{2} \right) \right) \right)$$

che calcolano tra  $x=1$  e  $x \rightarrow +\infty$  da

$$\frac{1}{2} \left( 0 + 0 + \sqrt{3} \frac{\pi}{2} \right) - \frac{1}{2} \left( \ln 2 + \ln \frac{1}{2} + \frac{\sqrt{3}\pi}{6} \right) = \frac{\sqrt{3}\pi}{6}.$$

## (2.b) CICLOIDE



Dopo si può esprimere l'area sotto la curva (almeno la prima vers.) ma i primi sono complessi, e poi anche di più per calcolare le primitive!

Meglio usare le formule di Green: Area ( $C$ ) =  $-\oint y \, dx =$

$$= - \int_0^{2\pi} R(1 - \cos t) \cdot R(1 - \cos t) \, dt = R^2 \int_0^{2\pi} (1 - \cos t)^2 \, dt$$

$$= R^2 \int_0^{2\pi} (1 - 2\cos t + \cos^2 t) \, dt = R^2 \left[ t - 2\sin t + \frac{t + \sin t \cos t}{2} \right]_0^{2\pi} = 3\pi R^2$$

$x_G = \frac{\pi}{2}$  per simmetria rispetto all'asse.

$$y_G = \frac{1}{3\pi R^2} \int_C y \, dx \, dy$$

$$= -\frac{1}{2} \frac{1}{3\pi R^2} \int_{+DC} y^2 \, dx =$$

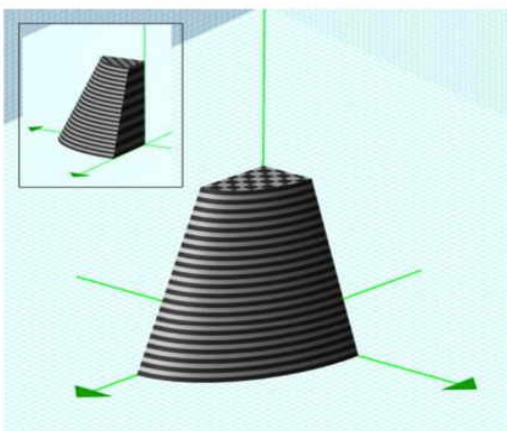
$$= -\frac{1}{6\pi R^2} \int_{2\pi}^0 R^2 (1 - \cos t)^2 \cdot R(1 - \cos t) \, dt = +\frac{1}{6\pi} R \int_0^{2\pi} (1 - \cos t)^3 \, dt$$

$$\dots = \frac{5}{6} R$$

$$\text{Green: } \oint_C f \, dx + g \, dy = \iint_D \left( \frac{\partial g}{\partial x} - \frac{\partial f}{\partial y} \right) \, dx \, dy$$

Ad es.:  $f = -\frac{1}{2} y^2, g = 0$

## (3.a)



Lo vediamo in vari modi.

$$(1) \quad \underline{z\text{-fette}}. \quad \text{Per } 0 \leq z \leq h, \text{ la } z\text{-fetta}$$

è il quarto dell'ellisse di semiali (1 -  $\frac{z}{2h}$ )a (b).  
di area  $\frac{1}{4}\pi (1 - \frac{z}{2h})^2 ab$  dunque

$$VOL(D) = \int_0^h \frac{1}{4}\pi (1 - \frac{z}{2h})^2 ab \, dz = \frac{\pi ab}{4} \int_0^h (1 - \frac{z}{2h})^2 \, dz$$

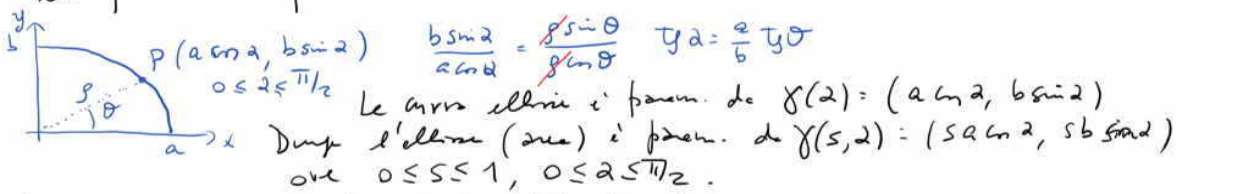
$$= \frac{\pi ab}{4} \left[ \left( \frac{1 - z}{2h} \right)^3 \right]_0^h = \dots = \frac{7\pi}{48} abh.$$

$$(2) \quad \underline{\text{Geometria delimitata}}: \text{ differenza di volumi di un}$$

$$\frac{1}{3} \cdot 2B \cdot \frac{\pi a^3}{4} - \frac{1}{3} \cdot h \cdot \frac{\pi a^2 b^2}{4} = \frac{7\pi}{48} abh$$

(3) Riportarsi al caso cartesiano  $(x, y, z) = \phi(u, v, w) = (au, bv, w)$   
 Jacobiano:  $\begin{vmatrix} a & 0 & 0 \\ 0 & b & 0 \\ 0 & 0 & 1 \end{vmatrix}$   $\det = ab$  dunque  $\text{Vol}(D) = \int dx dy dz = \int ab du dv dw$   
 $(\text{ma } \phi^{-1}(D) \text{ è il fuoco di simmetria di base } \square)$   $= ab \left( \frac{1}{3} \cdot 2B \cdot \frac{\pi}{4} - \frac{1}{3} \cdot \frac{\pi}{48} \right) = \frac{7\pi}{48} ab h$

(4) Premettendo globali di D. Le scelte  $z$  sono una delle parametrizzazioni, il problema è quello di parametrizzare la base maggiore in modo appropriato.



Le curve ellittiche i parametri di  $\gamma(2) = (a \cos 2, b \sin 2)$   
 Dunque l'ellisse (base) i parametri di  $\gamma(s, 2) = (s a \cos 2, s b \sin 2)$   
 ove  $0 \leq s \leq 1$ ,  $0 \leq 2 \leq \pi/2$ .

Dunque il min. sotto  $D$  è parametrizzato

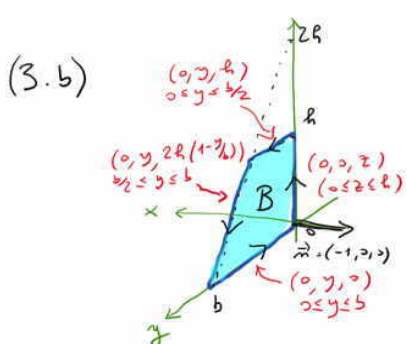
$$\gamma(s, 2, z) = (s a (1 - \frac{z}{2h}) \cos 2, s b (1 - \frac{z}{2h}) \sin 2, z) \quad \text{con} \quad \begin{cases} 0 \leq 2 \leq \pi/2 \\ 0 \leq s \leq 1 \\ 0 \leq z \leq h \end{cases}$$

Nelle coordinate  $(s, 2, z)$  il sotto  $D$  è diviso in parallelepipedi  $[0, 1] \times [0, \pi/2] \times [0, h]$ .

$$\text{Vol}(D) = \int_D 1 dx dy dz = \int_D \textcircled{S} ds d2 dz, \text{ ove } \textcircled{S} \text{ è il modo del det. del calcolo di base.}$$

$$\begin{pmatrix} a (1 - \frac{z}{2h}) \cos 2 & -s a (1 - \frac{z}{2h}) \sin 2 & -\frac{s a}{2h} \cos 2 \\ b (1 - \frac{z}{2h}) \sin 2 & +s b (1 - \frac{z}{2h}) \cos 2 & -\frac{s b}{2h} \sin 2 \\ 0 & 0 & 1 \end{pmatrix} \quad |\det| = s (1 - \frac{z}{2h})^2 ab$$

$$\text{Dunque } \text{Vol}(D) = \int_0^1 ds \int_0^{\pi/2} d2 \int_0^h s (1 - \frac{z}{2h})^2 dz = \frac{\pi ab}{2} \left( \frac{s^2}{2} \right)_0^1 \cdot \left[ \frac{(1 - \frac{z}{2h})^3}{3 \cdot (-\frac{1}{2h})} \right]_0^h = \frac{7\pi}{48} ab h.$$



$$F = (z-x, y, 0)$$

$$\nabla \times F = \begin{vmatrix} e_1 & e_2 & e_3 \\ \partial_x & \partial_y & \partial_z \\ z-x & y & 0 \end{vmatrix} = (0, 1, 0)$$

$$\Phi_B(\nabla \times F) = \int_B (0, 1, 0) \cdot (-1, 0, 0) dy dz = 0$$

D'altra parte

$$\oint F \cdot d\alpha = \int_0^h (z, 0, 0) \cdot (0, 0, 1) dz + \int_0^{b/2} (0, y, 0) \cdot (0, 1, 0) dy + \\ + \int_{b/2}^b (2h(1 - \frac{y}{b}), y, 0) \cdot (0, 1, -\frac{2h}{b}) dy + \int_b^h (0, y, 0) \cdot (0, 1, 0) dy$$

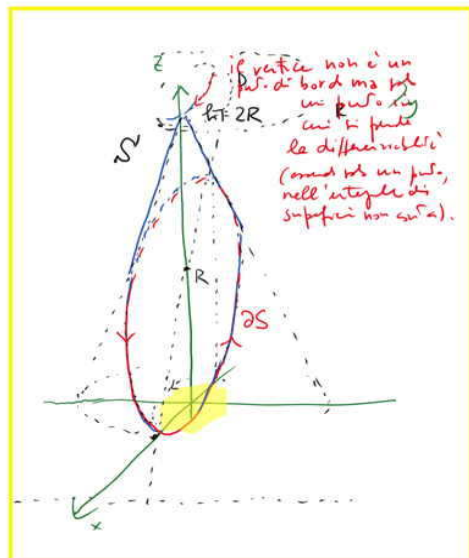
$$= \int_0^{b/2} y dy + \int_{b/2}^b y dy - \int_b^h y dy = 0 \quad (\text{OK})$$

Qui di seguito le soluzioni di (3.c) e (3.d).

(c) Poiché il campo  $F$  ha divergenza nulla, il teorema di Gauss dice che il flusso totale di  $F$  uscente dalla superficie esterna  $\partial D$  è nullo. D'altra parte,  $F$  è un campo orizzontale (l'ultima componente è nulla) e dunque i suoi flussi attraverso le porzioni orizzontali (basi sopra e sotto) di  $\partial D$  sono nulli; e sul piano  $(x, z)$  esso è parallelo all'asse  $x$  (le ultime due componenti sono nulle) e dunque è nullo anche il suo flusso attraverso la porzione di  $\partial D$  su tale piano. In sostanza, Gauss dice che il flusso di  $F$  uscente da  $L$  è l'opposto del flusso di  $F$  uscente da  $B$ , che è di facile calcolo:  $\int_B(z, y, 0) \cdot (-1, 0, 0) dy dz = -\int_B z dy dz = -\int_0^h dz \int_0^{b(1-\frac{z}{2h})} z dy = -b \int_0^h z(1 - \frac{z}{2h}) dz = -b(\frac{z^2}{2} - \frac{z^3}{6h})_0^h = -\frac{1}{3}bh^2$ . Pertanto il flusso di  $F$  uscente da  $L$  vale  $\frac{1}{3}bh^2$ . • Col conto diretto,  $L$  si può parametrizzare usando la parametrizzazione  $\gamma$  di  $D$  bloccata su  $s = 1$ , ovvero  $((1 - \frac{z}{2h})a \cos \psi, (1 - \frac{z}{2h})b \sin \psi, z)$  con  $0 \leq \psi \leq \frac{\pi}{2}$  e  $0 \leq z \leq h$ , e il flusso di  $F$  uscente da  $L$  viene  $\int_0^h dz \int_0^{\frac{\pi}{2}} \det \begin{pmatrix} z - (1 - \frac{z}{2h})a \cos \psi & -(1 - \frac{z}{2h})a \sin \psi & -\frac{1}{2h}a \cos \psi \\ (1 - \frac{z}{2h})b \sin \psi & (1 - \frac{z}{2h})b \cos \psi & -\frac{1}{2h}b \sin \psi \end{pmatrix} d\psi = b \int_0^h dz \int_0^{\frac{\pi}{2}} (z(1 - \frac{z}{2h}) \cos \psi - (1 - \frac{z}{2h})^2 a \cos 2\psi) dz = b \int_0^h (1 - \frac{z}{2h})(z \sin \psi - \frac{1}{2}a(1 - \frac{z}{2h}) \sin 2\psi)_{\psi=0} dz = b \int_0^h z(1 - \frac{z}{2h}) dz$ , che come prima dà  $\frac{1}{3}bh^2$ .

(d) La parametrizzazione di  $L$  dà a conti fatti un elemento d'area  $d\sigma = (1 - \frac{z}{2h}) \sqrt{\frac{a^2 b^2}{4h^2} + a^2 \sin^2 \psi + b^2 \cos^2 \psi} d\psi dz$ , e l'area di  $L$  ne risulta  $\int_{[0, \frac{\pi}{2}] \times [0, h]} d\sigma$ . • Nel caso  $a = b$  l'integrale diventa  $\int_{[0, \frac{\pi}{2}] \times [0, h]} (1 - \frac{z}{2h}) \sqrt{\frac{a^4}{4h^2} + a^2} d\psi dz$ , e il suo calcolo dà  $a \sqrt{1 + \frac{a^2}{4h^2}} \int_0^h dz \int_0^{\frac{\pi}{2}} (1 - \frac{z}{2h}) d\psi = \frac{\pi}{2} a \sqrt{1 + \frac{a^2}{4h^2}} \int_0^h (1 - \frac{z}{2h}) dz = \frac{\pi}{2} a \sqrt{1 + \frac{a^2}{4h^2}} (z - \frac{z^2}{4h})_0^h = \frac{3\pi}{8} ah \sqrt{1 + \frac{a^2}{4h^2}}$  (risultato che — lo si verifichi — coincide con quello che otterremmo con la geometria elementare del cono circolare).

Proponiamo anche di affrontare i seguenti tre esercizi:



### Ex. 1

Consideriamo la porzione della superficie  $S'$  di raggio  $R$  e altezza  $h = 2R$  che si trova sopra il piano  $z = R - x$ .

Verifichiamo la formula di Kelvin-Stokes (T. Rotore) per  $S'$  e per  $F = (y, -x, z)$ .

Ex 2 Nel piano  $(x, z)$  si definisce  $B = \{z \geq \frac{x^2}{2a} - a, |z| \leq \frac{x}{2}\}$  (con  $a > 0$ ).

[Ex. 3]  
[Ex. 3]  
[Ex. 3]

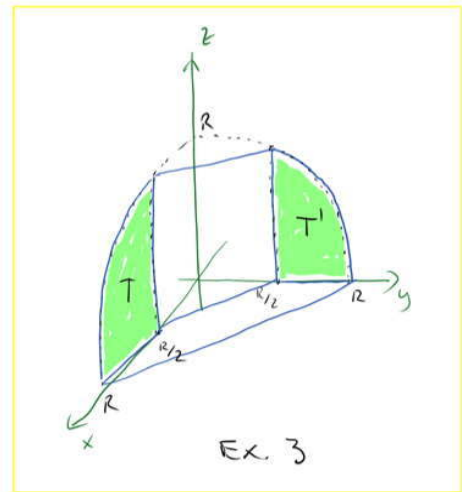
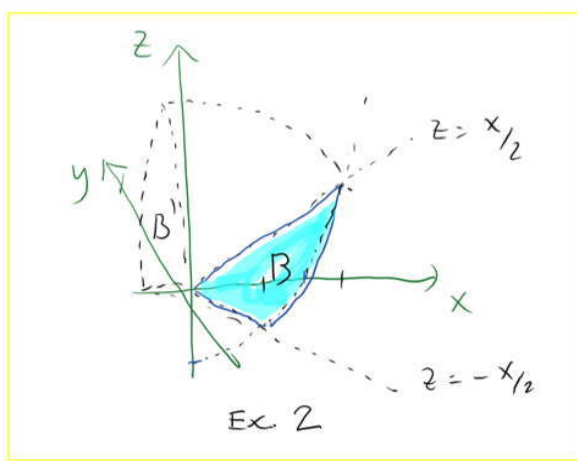
(a) Area e perimetro di  $B$ , e volume del solido  $D$  ottenuto rotando  $B$  di angolo  $\pi/2$  attorno all'asse  $z$ .

(b) Si sia  $S = \partial D$ , e sia  $S'$  la parte di  $S$  ottenuta rotolandone l'area di parallele di  $\partial B$ .

Calcolare il flusso di  $F = (x-z, y, 0)$  attraverso  $S, B, S'$ ; se si vuole, calcolare anche i flussi attraverso le altre porzioni di  $S$ .

(c) Calcolare le circonferenze di  $F$  lungo  $\partial B$  e  $\partial S'$ , in due modi.

(d) Estremi assoluti di  $f(x, y, z) = \sqrt{3}(x-z) + y$  sul superfiče  $D$ .



Ex. 3 (Esame scritto del 20/2/2012)

Nel piano  $(x, z)$  si definisce  $T = \{(x, z) : \frac{1}{2}R \leq x \leq R, z \geq 0, x^2 + z^2 \leq R^2\}$ , con  $R > 0$ . Data  $T'$  l'insieme figure sul piano  $(y, z)$ , si calcoli  $E$  il solido ottenuto unendo con segmenti i punti corrispondenti di  $T$  e  $T'$ .

(a) Disegnare  $E$ , ponendone approssimazioni e calcolarne il volume. Verificare poi il T-Gauss per  $E$  e il campo  $F = (x, y, -1)$ .

(b) Calcolare l'area delle porzioni curva  $S'$  di  $\partial E$  nell'ottante  $x, y, z \geq 0$ . Verificare il T-Rotore (formula di K-S). per  $S'$  e per il campo  $H = (0, x, -z)$ .

Risoluzioni DEGLI ESEMPI 1-2-3

Ex. 1

Viste le due forme di somma di somme e cedutice, conviene parametrizzare  $S$  come grafico  $z(x,y)$ :  $\frac{z}{R} + \frac{x}{R} = 1 \rightarrow \frac{z}{R} + \frac{\sqrt{x^2+y^2}}{R} = 1 \xrightarrow{(h=2R)} \frac{z}{2} + \sqrt{x^2+y^2} = R$

dove  $z(x,y) = 2(R - \sqrt{x^2+y^2})$ , su  $(x,y) \in D = ?$

$$\begin{cases} z = 2(R - \sqrt{x^2+y^2}) \\ z = R-x \end{cases} \rightarrow 2(R - \sqrt{x^2+y^2}) = R - x \rightarrow 2\sqrt{x^2+y^2} = x + R$$

$$\rightarrow 4x^2 + 4y^2 = x^2 + R^2 + 2Rx \quad 3x^2 + 4y^2 - 2Rx - R^2 = 0$$

$$\left(3x^2 - 2Rx + \frac{R^2}{3}\right) - \frac{R^2}{3} + 4y^2 - R^2 = 0 \quad \frac{(x - \frac{R}{3})^2}{(\frac{R}{\sqrt{3}})^2} + \frac{y^2}{(\frac{R}{\sqrt{3}})^2} = 1$$

Dove  $D = \left\{ \frac{(x - \frac{R}{3})^2}{(\frac{R}{\sqrt{3}})^2} + \frac{y^2}{(\frac{R}{\sqrt{3}})^2} \leq 1 \right\}$  (ellisse di centro  $(\frac{R}{3}, 0)$  e semimaior maggiore  $\frac{2R}{3}$  e minore  $\frac{R}{\sqrt{3}}$ ).

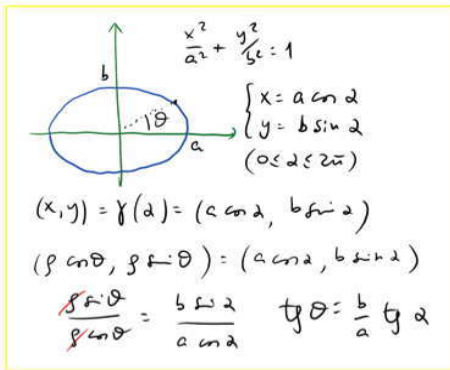
$$F = (y, -x, z) \rightarrow \nabla \times \vec{F} = \begin{vmatrix} e_1 & e_2 & e_3 \\ \partial_x & \partial_y & \partial_z \\ y & -x & z \end{vmatrix} = (0, 0, -2)$$

$$\Phi_S(\nabla \times F) = \int_D \det \begin{pmatrix} 0 & 1 & 0 \\ 0 & 0 & 1 \\ -2 & -\frac{2x}{\sqrt{x^2+y^2}} & -\frac{2y}{\sqrt{x^2+y^2}} \end{pmatrix} dx dy$$

$$\begin{cases} \delta(x,y) = (x,y, 2(R - \sqrt{x^2+y^2})) \\ \frac{\partial \delta}{\partial x} = (1,0,-\frac{2x}{\sqrt{x^2+y^2}}) \\ \frac{\partial \delta}{\partial y} = (0,1,-\frac{2y}{\sqrt{x^2+y^2}}) \end{cases}$$

$$= -2 \int_D dx dy = -2 \text{Area}(D) = -2 \pi \cdot \frac{2R}{3} \cdot \frac{R}{\sqrt{3}} = -\frac{4\pi R^2}{3\sqrt{3}}$$

Per vedere se tale valore si può raggiungere  $\oint_{\partial S} F \cdot d\mathbf{x}$ , ovvero se l'ellisse si può riferire.



Parametrizziamo l'ellisse  $\mathcal{D}$  con

$$\left( \frac{R}{3} + \frac{2R}{3} \cos \alpha, 0 + \frac{R}{\sqrt{3}} \sin \alpha \right) :$$

(l'insieme è quello gire, antiorario);  
ne segue che  $\mathcal{D}'$  è parametrizzato da

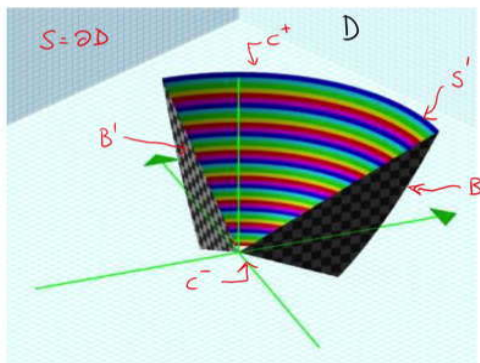
$$\gamma(\alpha) = \left( \frac{R}{3} + \frac{2R}{3} \cos \alpha, \frac{R}{\sqrt{3}} \sin \alpha, R - \left( \frac{R}{3} + \frac{2R}{3} \cos \alpha \right) \right)$$

$\text{con } 0 \leq \alpha \leq 2\pi$

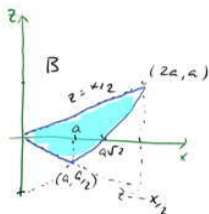
$\int_{\mathcal{D}'} F \cdot d\alpha : \int_0^{2\pi} \left( \frac{R}{\sqrt{3}} \sin \alpha, -\frac{R}{3} - \frac{2R}{3} \cos \alpha, R - \left( \frac{R}{3} + \frac{2R}{3} \cos \alpha \right) \right) \cdot \left( -\frac{2R}{3} \sin \alpha, \frac{R}{\sqrt{3}} \cos \alpha, \frac{2R}{3} \cos \alpha \right) d\alpha$ 
  
 $= \int_0^{2\pi} \left( -\frac{2R^2}{3\sqrt{3}} \sin^2 \alpha - \frac{2R^2}{3\sqrt{3}} \cos^2 \alpha + 0 \right) d\alpha = \int_0^{2\pi} \left( -\frac{2R^2}{3\sqrt{3}} \right) d\alpha = -\frac{2R^2}{3\sqrt{3}} \cdot 2\pi = -\frac{4\pi R^2}{3\sqrt{3}} \text{ (OK!)}$

CALCOLI  
 ASSORTEZIONE  
 ZERO DUE volte Sono  
 INTEGRATI DA  $0 \leq 2\pi$ .

## Ex 2



$$\begin{aligned}
 \text{Area di } B : & \int_0^a dx \int_{-x_1}^{x_1} dz + \int_a^{2a} dx \int_{x_1^2 - a^2}^{x_1} dz = \dots \\
 & = 13/12 a^2
 \end{aligned}$$



$$\begin{aligned}
 x_G : & \frac{1}{\text{Area } B} \left( \int_0^a x dx \int_{-x_1}^{x_1} dz + \int_a^{2a} x dx \int_{x_1^2 - a^2}^{x_1} dz \right) \\
 & = \dots = 27/26 a
 \end{aligned}$$

$$z_G = \frac{1}{\text{Area } B} \left( \int_0^a z dx dz + \int_a^{2a} z dx dz \right) = \dots = 11/65 a$$

$$Vol(D) = (\text{Guldino}) \frac{\pi}{2} \cdot \text{Area}(B) \cdot x_G = \frac{9\pi}{16} a^3$$

$$(b) \text{ T. Guldino : } \Phi_S(x-z, y, 0) = \int_D 2 dx dy dz = 2 Vol(D) = \frac{9\pi}{8} a^3$$

- Se la piastra  $y=0$  (quello di B) è capovolta ( $x-z, y, 0$ ), parallela alla linea x (doppia di B)  $\rightarrow \Phi_B(F) = 0$  -

- Poniamo  $\Phi_{S'}(F)$ . Poniamo  $S'$ :  $\gamma(\rho, \theta) = (\rho \cos \theta, \rho \sin \theta, \frac{3}{2a} - a)$

$$(a \leq \rho \leq 2a, 0 \leq \theta \leq \pi/2).$$

Ora faccio inversione!

$$\begin{aligned}
 \Phi_{S^+}(F) &= - \int_0^{\pi/2} d\theta \int_a^{2a} \det \begin{pmatrix} \rho \cos \theta - (\frac{\rho^2}{2a} - a) & \cos \theta & -\rho \sin \theta \\ \rho \sin \theta & \sin \theta & \rho \cos \theta \\ 0 & 0 & 0 \end{pmatrix} d\rho \\
 &= \int_0^{\pi/2} d\theta \int_a^{2a} \frac{\rho}{a} (\rho^2 \cos^2 \theta - \rho \cos \theta (\frac{\rho^2}{2a} - a) + \rho^2 \sin^2 \theta) d\rho \\
 &= \int_0^{\pi/2} d\theta \int_a^{2a} \frac{\rho}{a} (\rho^2 - \rho \cos \theta (\frac{\rho^2}{2a} - a)) d\rho \\
 &= \frac{1}{a} \int_0^{\pi/2} \left( \frac{\rho^4}{4} - \frac{\rho^5}{10a} \cos \theta + \frac{a\rho^3}{3} \cos \theta \right]_a^{2a} d\theta \\
 &= \frac{1}{a} \int_0^{\pi/2} \left( \left( 16a^4 - \frac{16}{5}a^4 \cos \theta + \frac{8}{3}a^4 \cos \theta \right) - \left( \frac{a^4}{4} - \frac{a^4}{10} \cos \theta + \frac{a^4}{3} \cos \theta \right) \right) d\theta \\
 &= a^3 \int_0^{\pi/2} \left( \frac{15}{4} - \frac{23}{30} \cos \theta \right) d\theta = a^3 \left[ \frac{15}{4}\theta - \frac{23}{30} \sin \theta \right]_0^{\pi/2} = \left( \frac{15}{8}\pi - \frac{23}{30} \right) a^3
 \end{aligned}$$

Altre forme di superficie:

- B' è piano, dato parametrizzato da  $(0, y, z)$  con orientazione opposta:

$$\Phi_{B'}(F) = - \int_{B'} \det \begin{pmatrix} -z & 0 & 0 \\ y & 1 & 0 \\ 0 & 0 & 1 \end{pmatrix} dy dz = \int_{B'} z dy dz = \text{Area}(B) \cdot z_A = \frac{13}{12} a^2 \cdot \frac{11}{65} a = \frac{11}{60} a^3$$

- C<sup>+</sup> (coppie inferiori, generati dalle rette del segmento  $(x, \frac{x_2}{2})$  con  $0 \leq x \leq 2a$ )  
È parametrizzata da  $\gamma(\rho, \theta) = (\rho \cos \theta, \rho \sin \theta, \frac{\rho}{2})$  con  $0 \leq \rho \leq 2a$ ,  $0 \leq \theta \leq \pi/2$ .

Ora faccio inversione (usando la D).

$$\begin{aligned}
 \Phi_{C^+}(F) &= \int_0^{\pi/2} d\theta \int_0^{2a} \det \begin{pmatrix} \rho \cos \theta - \frac{\rho}{2} & \cos \theta & -\rho \sin \theta \\ \rho \sin \theta & \sin \theta & \rho \cos \theta \\ 0 & 0 & 0 \end{pmatrix} d\rho = \\
 &= -\frac{1}{2} \int_0^{\pi/2} d\theta \int_0^{2a} (\rho^2 \cos^2 \theta - \frac{\rho^2}{4} \cos \theta + \rho^2 \sin^2 \theta) d\rho \\
 &= -\frac{1}{2} \int_0^{\pi/2} \left( \frac{\rho^3}{3} \left( 1 - \frac{1}{2} \cos \theta \right) \right]_0^{2a} d\theta = -\frac{4a^3}{3} \left( \theta - \frac{1}{2} \sin \theta \right]_0^{\pi/2} = -\frac{4a^3}{3} \left( \frac{\pi}{2} - \frac{1}{2} \right)
 \end{aligned}$$

- C<sup>-</sup> (coppie inferiori, generati dalle rette del segmento  $(x, -\frac{x_2}{2})$  con  $0 \leq x \leq a$ )  
È parametrizzata da  $\gamma(\rho, \theta) = (\rho \cos \theta, \rho \sin \theta, -\frac{\rho}{2})$  con  $0 \leq \rho \leq a$  e  $0 \leq \theta \leq \pi/2$

Ora faccio inversione

$$\begin{aligned}
 \Phi_{C^-}(F) &= - \int_0^{\pi/2} d\theta \int_0^a \det \begin{pmatrix} \rho \cos \theta + \frac{\rho}{2} & \cos \theta & -\rho \sin \theta \\ \rho \sin \theta & \sin \theta & \rho \cos \theta \\ 0 & 0 & 0 \end{pmatrix} d\rho = \\
 &= -\frac{1}{2} \int_0^{\pi/2} d\theta \int_0^a (\rho^2 \cos^2 \theta + \frac{\rho^2}{4} \cos \theta + \rho^2 \sin^2 \theta) d\rho \\
 &= -\frac{1}{2} \int_0^{\pi/2} a^3 \left( 1 + \frac{1}{2} \cos \theta \right) d\theta = -\frac{a^3}{6} \left( \theta + \frac{1}{2} \sin \theta \right]_0^{\pi/2} = -\frac{a^3}{6} \left( \frac{\pi}{2} + \frac{1}{2} \right).
 \end{aligned}$$

Notare che  $\bar{\Phi}_B(F) + \bar{\Phi}_{B'}(F) + \bar{\Phi}_{S'}(F) + \bar{\Phi}_{c^+}(F) + \bar{\Phi}_{c^-}(F) \approx \frac{g\pi}{8} a^3 = \bar{\Phi}_S(F)$ ,  
come siamo visto dal T. Gauss.

(c) Cognoscere di  $F = (x-z, y, 0)$  lungo  $\partial B$  e  $\partial S'$  in due modi.

Primo modo: al Teorema del rotore.

$$\nabla \times F = \begin{vmatrix} e_1 & e_2 & e_3 \\ \partial_x & \partial_y & \partial_z \\ x-z & y & 0 \end{vmatrix} = (0, -1, 0)$$

$$\oint_{\partial B} F \cdot dx = \bar{\Phi}_B(\nabla \times F) = \int_B (0, -1, 0) \cdot (0, -1, 0) dy dz = \text{Area}(B) = \frac{13}{12} a^2.$$

$$\begin{aligned} \oint_{\partial S'} F \cdot dx &= \bar{\Phi}_{S'}(\nabla \times F) = - \int_0^{\pi/2} d\theta \int_a^{2a} \det \begin{pmatrix} 0 & \cos \theta & -\sin \theta \\ -1 & \sin \theta & \cos \theta \\ 0 & s/a & 0 \end{pmatrix} dp \\ &= - \int_0^{\pi/2} d\theta \int_a^{2a} p^2/a \sin \theta dp : (\cos \theta) \Big|_0^{\pi/2} \left( \frac{s^3}{3a} \right) \Big|_a^{2a} = -\frac{7}{3} a^2 \end{aligned}$$

Secondo modo: al calcolo diretto.

$$\begin{aligned} \oint_{\partial B} F \cdot dx &= \int_0^a (x - (-\frac{x}{2}), 0, 0) \cdot (1, 0, -\frac{1}{2}) dx + \int_a^{2a} (x - (\frac{x^2}{2a} - a), 0, 0) \cdot (1, 0, \frac{x}{a}) dx \\ &\quad - \int_0^{2a} (x - \frac{x}{2}, 0, 0) \cdot (1, 0, \frac{1}{2}) dx = \int_0^a \frac{3x}{2} dx + \int_a^{2a} (x + a - \frac{x^2}{2a}) dx - \int_0^{\frac{x}{2}} dx \\ &= \left( \frac{3x^2}{4} \right) \Big|_0^a + \left( \frac{x^2}{2} + ax - \frac{x^3}{6a} \right) \Big|_a^{2a} - \left( \frac{x^2}{4} \right) \Big|_0^a = \frac{3a^2}{4} + \frac{8}{3} a^2 - \frac{4}{3} a^2 = \frac{13}{12} a^2 \end{aligned}$$

$\oint_{\partial S'} F \cdot dx$ : calcolando in senso orario partendo dal punto  $(a, 0, -\frac{a}{2})$   
(e scrivendo in rosso le parametrizzazioni di ogni tratta):

$$\begin{aligned} &\int_a^{2a} (x - (\frac{x^2}{2a} - a), 0, 0) \cdot (1, 0, \frac{x}{a}) dx + \int_0^{\pi/2} (2a \cos \theta - a, 2a \sin \theta, 0) \cdot (-2a \sin \theta, 2a \cos \theta, 0) d\theta + \\ &\quad \gamma(x) = (x, 0, \frac{x^2}{2a} - a) \qquad \qquad \qquad \gamma(\theta) = (2a \cos \theta, 2a \sin \theta, a) \\ &\quad - \int_a^{2a} (0 - (\frac{y^2}{2a} - a), y, 0) \cdot (0, 1, \frac{y}{a}) dy - \int_0^{\pi/2} (a \cos \theta - (-\frac{a}{2}), a \sin \theta, 0) \cdot (-a \sin \theta, a \cos \theta, 0) d\theta \\ &\quad \gamma(y) = (0, y, \frac{y^2}{2a} - a) \qquad \qquad \qquad \gamma(\theta) = (a \cos \theta, a \sin \theta, -\frac{a}{2}) \\ &= \int_a^{2a} (x - \frac{x^2}{2a} + a) dx + \int_0^{\pi/2} (-6a^2 \sin \theta \cos \theta + 2a^2 \sin \theta + 4a^2 \cos \theta) d\theta - \int_a^{2a} y dy - \int_0^{\pi/2} \left( -\frac{a^2 \cos \theta \sin \theta - \frac{a^2}{2} \sin \theta}{a^2 \cos^2 \theta} \right) d\theta \\ &= \left( \frac{x^2}{2} - \frac{x^3}{6a} + ax \right) \Big|_a^{2a} + 2a^2(-\cos \theta) \Big|_0^{\pi/2} - \left( \frac{y^2}{2} \right) \Big|_a^{2a} + \frac{a^2}{2}(-\cos \theta) \Big|_0^{\pi/2} \\ &= \left( 2a^2 - \frac{4}{3} a^2 + 2a^2 \right) - \left( \frac{a^2}{2} - \frac{a^2}{6} + a^2 \right) + 2a^2(+1) - 2a^2 + \frac{a^2}{2} + \frac{a^2}{2} (+1) = \frac{7}{3} a^2. \end{aligned}$$

Rispetto al senso fatto al flusso del rotore il segno è invertito  
perché l'orientazione indotta da quelle di  $S'$  (uscita da 0)  
sarebbe quella opposta a quanto scelto.

(d) Per determinare gli estremi di  $f(x, y, z) = \sqrt{3}(x-z) + y$  sul complesso  $K$  si tratta di decomporre  $K$  in porzioni assunse delle quali sia una  $\mathcal{C}^1$  classica senza bordo, e poi di cercare i punti stazionari di  $f$  su ciascuna di queste porzioni, confrontandone infine i valori di  $f$  su tali punti.

Dividiamo  $K$ :

- (i) nell'aperto  $K_0$  dei suoi punti interni (dim. 3),
- (ii) nelle sue 5 facce  $B, B', S, C^+, C^-$  private del bordo (dim. 2),
- (iii) negli 8 spigoli senza vertici che contornano le facce (dim. 1)
- (iv) nei 5 vertici  $O(0,0,0), P(a,0,-\frac{a}{2}), Q(0,a,-\frac{a}{2}), U(2a,0,a), V(0,2a,a)$ .

Trattiamo separatamente ciascuna delle porzioni.

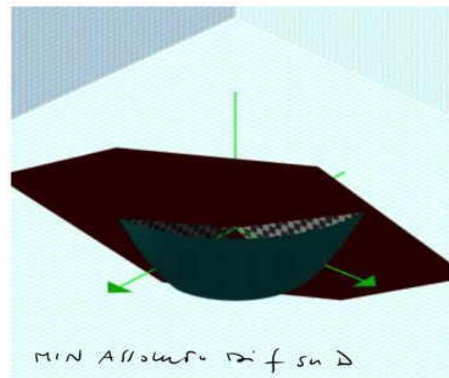
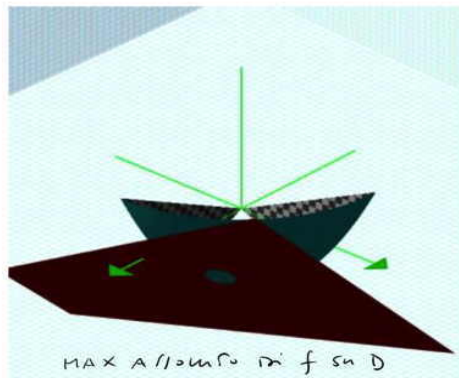
- (i) Poiché  $\nabla f = (\sqrt{3}, 1, \sqrt{3}) \neq (0,0,0)$ , non vi sono punti stazionari in  $K_0$ .
- (ii) • Su  $B$  vale  $f(x,0,z) = \sqrt{3}(x-z)$  che non ha alcun punto stazionario.  
• Iden su  $B'$ , ove vale  $f(0,y,z) = -\sqrt{3}z + y$ : nessun punto stazionario.  
•  $S'$  è param. da  $\gamma(\theta) = (\rho \cos \theta, \rho \sin \theta, \frac{\rho^2}{2a} - a)$ , dove si ha  
 $f$  vale  $F(\rho, \theta) := \sqrt{3}(\rho \cos \theta - \frac{\rho^2}{2a} + a) + \rho \sin \theta$  con  $0 < \rho < 2a$  e  $0 < \theta < \frac{\pi}{2}$ .  
Si ha  $\nabla F = (\frac{\partial F}{\partial \rho}, \frac{\partial F}{\partial \theta}) = (\sqrt{3}(\cos \theta - \frac{\rho}{a}) + \sin \theta, \rho(\cos \theta - \sqrt{3} \sin \theta)) = (0,0)$   
quindi  $\begin{cases} \sqrt{3}(\cos \theta - \frac{\rho}{a}) + \sin \theta = 0 \\ \rho(\cos \theta - \sqrt{3} \sin \theta) = 0 \end{cases} \Leftrightarrow \begin{cases} \theta = \frac{\pi}{6} \\ \rho = \frac{2}{\sqrt{3}}a \end{cases}$  : si ottiene  
dove il punto  $R(a, a/\sqrt{3}, -a/3) = \gamma(\theta_0, \theta_0)$ .  
Graf. per verificare, scriviamo la forma cartesiana di  $S'$ , che è  
 $z = \frac{\rho^2}{2a} - a = \frac{x^2+y^2}{2a} - a$ , ovvero  $x^2+y^2-2az-2a^2=0$ : il risultato  
di Laplace dà  $\begin{cases} \text{rk} \begin{pmatrix} \sqrt{3} & 1 & -\sqrt{3} \\ 2x & 2y & -2a \end{pmatrix} < 2 \\ x^2+y^2-2az-2a^2=0 \end{cases} \quad \begin{cases} x = \sqrt{3}y \\ y = \frac{a}{\sqrt{3}} \\ x^2+y^2-2az-2a^2=0 \end{cases}$ ,  
sistema di due equazioni.

- $C^+$  è param. da  $(\rho \cos \theta, \rho \sin \theta, \frac{\rho}{2})$  con  $0 < \rho < 2a$  e  $0 < \theta < \frac{\pi}{2}$ .  
Si ha  $F(\rho, \theta) := f(\rho \cos \theta, \rho \sin \theta, \frac{\rho}{2}) = \sqrt{3}(\rho \cos \theta - \frac{\rho}{2}) + \rho \sin \theta$ .  
 $\nabla F = (\sqrt{3} \cos \theta - \frac{\sqrt{3}}{2} + \sin \theta, \sqrt{3} \sin \theta - \sqrt{3} \cos \theta) = (0,0) \Leftrightarrow \begin{cases} \sqrt{3} \cos \theta - \frac{\sqrt{3}}{2} + \sin \theta = 0 \\ \sqrt{3} \sin \theta - \sqrt{3} \cos \theta = 0 \end{cases}$   
che è un sistema privo di soluzioni: nessun punto stazionario.  
•  $C^-$ , per comodità, le scriviamo  $z = -\frac{\rho}{2} = -\frac{x^2+y^2}{2}$   
ovvero  $x^2+y^2-4z^2=0$  con  $z < 0$ : il risultato di Laplace dà  
 $\begin{cases} \text{rk} \begin{pmatrix} \sqrt{3} & 1 & -\sqrt{3} \\ 2x & 2y & -8z \end{pmatrix} < 2 \\ x^2+y^2-4z^2=0 \end{cases} \quad \begin{cases} x = \sqrt{3}y \\ y = \frac{4z}{\sqrt{3}} \\ x^2+y^2-4z^2=0 \end{cases}$ , sistema con la  
sola soluzione  $(0,0,0)$  non accettabile: nessun punto staz. su  $C^-$ .

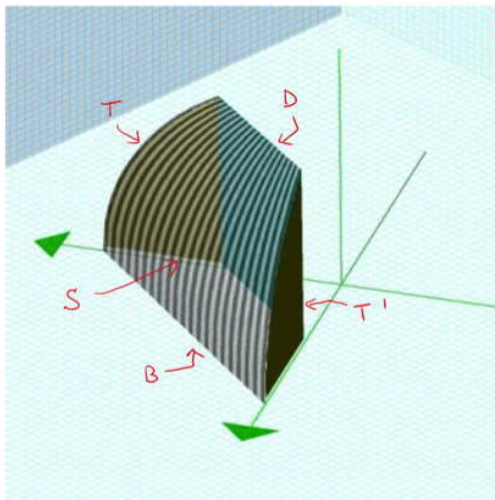
- (iii) • Segnalo  $(x_1, 0, x_2)$  con  $0 < x < 2a$ : su esso vale  
 $F(x) := f(x, 0, x_2) = \frac{\sqrt{3}}{2}x$ , prova di punti sfaccendati ( $F'(x) = \frac{\sqrt{3}}{2} \neq 0$ ).  
 All'altro modo si vede che non vi sono punti sfaccendati  
 sugli altri tre segmenti. Restano da vedere gli spigoli curvi.  
 • Arco superiore  $(2a \cos \theta, 2a \sin \theta, a)$  con  $0 < \theta < \pi/2$ .  
 $F(\theta) := f(2a \cos \theta, 2a \sin \theta, a) = \sqrt{3}a(2 \cos \theta - 1) + 2a \sin \theta$   
 $F'(\theta) = -2a\sqrt{3} \sin \theta + 2a \cos \theta = 0 \Leftrightarrow \theta = \pi/6$ . Punto T( $a\sqrt{3}, a, a$ ).  
 • Arco inferiore: facciamo nelle forme cartesiane  $\begin{cases} x^2 + y^2 = a^2 \\ z = -a/2 \end{cases}$ .  
 Mct. di Leyte:  $\begin{cases} \det \begin{pmatrix} \frac{\sqrt{3}}{2x} & 1 & -\frac{\sqrt{3}}{2} \\ 0 & \frac{\sqrt{3}}{2y} & 0 \\ x^2 + y^2 = a^2 & 0 & 1 \end{pmatrix} = 0 \\ z = -a/2 \end{cases} \begin{cases} \sqrt{3}y - x = 0 \\ x^2 + y^2 = a^2 \\ z = -a/2 \end{cases}$   
 Si trova il pto W( $\frac{\sqrt{3}}{2}a, \frac{a}{2}, -\frac{a}{2}$ ).  
 • Arco parabolico su  $y=0$ :  $(x_1, 0, \frac{x_1^2}{2a} - a)$  con  $a < x < 2a$ .  
 $F(x) := \sqrt{3}(x - \frac{x^2}{2a} + a) \rightsquigarrow F'(x) = \sqrt{3}(1 - \frac{x}{a}) = 0$  per  $x=a$  Nu!  
 • Arco parabolico su  $x=0$ :  $(0, y, \frac{y^2}{2a} - a)$  con  $a < y < 2a$ .  
 $F(y) := \sqrt{3}(-\frac{y^2}{2a} + a) + y \rightsquigarrow F'(y) = -\sqrt{3} \frac{y}{a} + 1 = 0 \Rightarrow y = \frac{a}{\sqrt{3}}$  Nu!
- (iv) I 5 punti-vertice O, P, Q, U, V sono per def. tutti sfaccendati

Abbiamo dunque individuato 8 punti O, P, Q, U, V, R, T, W  
 in cui vale:  $f(O) = 0$ ,  $f(P) = \frac{3\sqrt{3}}{2}a$ ,  $f(Q) = (\frac{\sqrt{3}}{2} + 1)a$ ,  $f(U) = a\sqrt{3}$ ,  $f(V) = (2 - \sqrt{3})a$ ,  
 $f(R) = \frac{5}{\sqrt{3}}a$ ,  $f(T) = (4 - \sqrt{3})a$ ,  $f(W) = (2 + \frac{\sqrt{3}}{2})a$ .  
 Essendo  $0 < 2 - \sqrt{3} < \sqrt{3} < \frac{\sqrt{3}}{2} + 1 < 4 - \sqrt{3} < \frac{3\sqrt{3}}{2} < 2 + \frac{\sqrt{3}}{2} < \frac{5}{\sqrt{3}}$ , conclude che:  
 • il max assoluto di  $f$  su  $D$  è  $\frac{5}{\sqrt{3}}a$ , anzitutto in R;  
 • il min assoluto di  $f$  su  $D$  è 0, anzitutto in O.

Le seguenti immagini dell'elaborazione grafica, in cui appieno  $D$  (visto dall'ottante  $x, y, z \geq 0$ ) e i piani di livello di  $f$ , danno una giustificazione dei risultati appena ottenuti:



### Ex. 3



(a) Parametrizziamo  $T$  usando la descrizione fornita nel Testo.  
 Due punti componenti di  $T \subset T'$  sono  $(u, v, 0) \in T$  e  $(0, u, v) \in T'$ ; il segmento che li unisce sarà  
 allora  $(1-t)(u, v, 0) + t(0, u, v) =$   
 $= ((1-t)u, tu, v)$  con  $0 \leq t \leq 1$ .

Abbiamo in questo modo ottenuto una buona (naturale) parametrizzazione di  $E$ , tramite

$$(x, y, z) = \phi(u, v, t) = ((1-t)u, tu, v) \\ \text{con } (u, v) \in T =$$



Calcoliamo allora  $\text{Vol}(E)$  in due modi.

1. Usando le parametrizzazioni (come cambia di volume si integra):

$$\text{Vol}(E) = \int_E dx dy dz = \int_{\phi^{-1}(E)} |\det J_{\phi}(u, v, t)| du dv dt$$

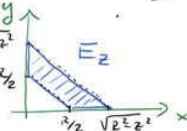
$$\text{Si ha } J_{\phi}(u, v, t) = \begin{pmatrix} 1-t & 0 & -u \\ t & 0 & u \\ 0 & 1 & 0 \end{pmatrix} \rightarrow |\det J_{\phi}(u, v, t)| = | -u | = u$$

e  $\phi^{-1}(E) = T \times [0, 1]$ , dunque

$$\text{Vol}(E) = \int_0^1 dt \int_T u du dv = 1 \cdot \int_{R/2}^R u du \int_0^{\sqrt{R^2-u^2}} dv = \int_{R/2}^R u \sqrt{R^2-u^2} du \\ = \left( -\frac{1}{3} (R^2-u^2)^{3/2} \right) \Big|_{R/2}^R = \frac{\sqrt{3}}{8} R^3$$

2. Per z-fette. Il corpo  $E$  giace nel settore  $0 \leq z \leq \frac{\sqrt{3}}{2} R$ .

La z-fetta  $E_z$  di  $E$  un certo  $z \in [0, \frac{\sqrt{3}}{2} R]$  è il trapezio nel piano  $(x, y)$  in figura:  
 le cui aree si calcola facilmente per differenza delle aree dei trapezi:  $\text{Area}(E_z) = \frac{1}{2} (\sqrt{R^2-z^2})^2 - \frac{1}{2} (R_z)^2 = \frac{3R^2-4z^2}{8}$ .



Pertanto:

$$\text{Vol}(E) = \int_E dx dy dz = \int_0^{\frac{\sqrt{3}}{2} R} dz \int_{E_z} dx dy = \int_0^{\frac{\sqrt{3}}{2} R} \text{Area}(E_z) dz = \\ = \int_0^{\frac{\sqrt{3}}{2} R} \frac{3R^2-4z^2}{8} dz = \frac{1}{8} \left[ 3R^2 z - \frac{4z^3}{3} \right]_0^{\frac{\sqrt{3}}{2} R} = \frac{1}{8} \left( \frac{3\sqrt{3}}{2} R^3 - \frac{\sqrt{3}}{2} R^3 \right) = \frac{\sqrt{3}}{8} R^3 \text{ (OK!)}$$

Quando al T. Gauss per  $E$  e il campo  $F = (x, y, -1)$ :

$$\text{essendo } \nabla \cdot F = 2 \text{ si ha } \int_E \nabla \cdot F \, dx dy \, dz = 2 \text{ Vol}(E) = \frac{\sqrt{3}}{4} R^3.$$

D'altra parte calcoliamo il flusso totale uscente da  $\partial E$ , composta da  $T, T', D$  (parete posteriore),  $B$  (baseamento) e  $S$  (superficie curva).

- Sul piano  $y=0$  il campo  $F = (x, 0, -1)$  e' parallelo al piano  $z=0$ , dunque anche a  $T$ : ne segue che  $\phi_T(F) = 0$ .
- Per la sfera motivo vale  $\phi_{T'}(F) = 0$ .
- Sulla base  $B$  su  $z=0$  e la normale uscente  $-e_3 = (0, 0, -1)$ , dunque  $\phi_B(F) = \int_B (x, y, -1) \cdot (0, 0, -1) \, dx dy = \text{Area}(B) = \frac{1}{2} R^2 - \frac{1}{2} \left(\frac{R}{2}\right)^2 = \frac{3}{8} R^2$ .

Per  $D$  si puo usare le param.  $\phi$  bloccando  $u = R/2$ , ovvero  $\gamma(v, t) := \phi\left(\frac{R}{2}, v, t\right) = ((1-t)\frac{R}{2}, t\frac{R}{2}, v)$  con  $0 \leq v \leq \frac{\sqrt{3}}{2}R$  e  $0 \leq t \leq 1$ : la orientazione che ne voleva e' quella uscente, per cui

$$\phi_D(F) = \int_0^{\frac{\sqrt{3}}{2}R} dv \int_0^1 \det \begin{pmatrix} (1-t)\frac{R}{2} & 0 & -R/2 \\ t\frac{R}{2} & 0 & R/2 \\ -1 & 1 & 0 \end{pmatrix} dt = - \int_0^{\frac{\sqrt{3}}{2}R} dv \int_0^1 \frac{R^2}{4} dt = -\frac{\sqrt{3}}{8} R^3$$

- Per  $S$ , generata da un arco di circonferenza, il legame tra  $(u, v)$  su  $T$  e  $(u, v) = (R \cos \psi, R \sin \psi)$  dove  $\psi$  e' l'angolo polare in  $[0, \pi/3]$ :



possiamo parametrizzare  $\gamma(\psi, t) := \phi(R \cos \psi, R \sin \psi, t) = ((1-t)R \cos \psi, tR \cos \psi, R \sin \psi)$ , con  $0 \leq \psi \leq \pi/3$  e  $0 \leq t \leq 1$ . L'orientazione che ne voleva su  $S$  e' quella con la normale entrante, dunque

$$\begin{aligned} \phi_S(F) &= - \int_0^{\pi/3} d\psi \int_0^1 \det \begin{pmatrix} (1-t)R \cos \psi & -(1-t)R \sin \psi & -R \cos \psi \\ tR \cos \psi & -tR \sin \psi & R \cos \psi \\ -1 & R \sin \psi & 0 \end{pmatrix} dt \\ &= - \int_0^{\pi/3} d\psi \int_0^1 \left( \cancel{(1-t)R^2 \sin^2 \psi \cos \psi} + \cancel{tR^2 \sin^2 \psi \cos \psi} \right) dt = - \int_0^{\pi/3} (R^2 \sin^2 \psi \cos \psi - R^3 \sin^3 \psi) d\psi \\ &= R^2 \left[ \frac{\sin 2\psi}{4} \right]_0^{\pi/3} + R^3 \int_0^{\pi/3} \frac{\sin^3 \psi}{\sin \psi (1 - \sin^2 \psi)} d\psi = \frac{R^2}{4} \left( -\frac{1}{2} - 1 \right) + R^3 \left( \sin \psi - \frac{8 \sin^3 \psi}{3} \right]_0^{\pi/3} \\ &= -\frac{3}{8} R^2 + R^3 \left( \frac{\sqrt{3}}{2} - \frac{1}{3} \cdot \frac{8\sqrt{3}}{8} \right) = -\frac{3}{8} R^2 + \frac{3\sqrt{3}}{8} R^3. \end{aligned}$$

Notiamo che  $\phi_T(F) + \phi_{T'}(F) + \phi_B(F) + \phi_D(F) + \phi_S(F) = \frac{\sqrt{3}}{4} R^3$ , in accordo col Teorema di Gauss.

(b) Per calcolare l'area di  $S$  usiamo la parametrizzazione esibita  
per  $\gamma$ , ovvero  $\gamma(\psi, t) = \phi(R\cos\psi, R\sin\psi, t) = ((1-t)R\cos\psi, tR\cos\psi, R\sin\psi)$ .

con  $0 \leq \psi \leq \pi/3$  e  $0 \leq t \leq 1$ . Si ha  $J_\gamma(\psi, t) = \begin{pmatrix} -R(1-t)\sin\psi & -R\cos\psi \\ -tR\sin\psi & R\cos\psi \\ R\cos\psi & 0 \end{pmatrix}$ ,

dai cui l'elemento d'area nulla (a sottosuolo)  $dS = R^2 \cos\psi \sqrt{1+\cos^2\psi} d\psi dt$ .

$$\text{Dunque Area}(S) = \int_S dS = R^2 \int_0^1 dt \int_0^{\pi/3} \cos\psi \sqrt{1+\cos^2\psi} d\psi = R^2 \int_0^{\pi/3} \cos\psi (2-\sin^2\psi)^{1/2} d\psi;$$

però  $\varphi = \sin^{-1}\psi$  l'integrale diventa  $R^2 \int_0^{\pi/2} (2-\varphi^2)^{1/2} d\varphi$ ;

però a sua volta  $\varphi = \sqrt{2} \sin u$  (dunque  $u = \arcsin(\frac{\varphi}{\sqrt{2}})$ ) si ottiene

$$R^2 \int_0^{\arcsin(\frac{\sqrt{6}}{4})} \frac{\arcsin(\frac{\sqrt{6}}{4})}{\sqrt{2}} du = 2R^2 \int_0^{\arcsin(\frac{\sqrt{6}}{4})} \cos^2 u du = 2R^2 \left[ \frac{u + \sin u \cos u}{2} \right]_0^{\arcsin(\frac{\sqrt{6}}{4})}.$$

$$= \left( \arcsin(\frac{\sqrt{6}}{4}) + \frac{\sqrt{6}}{4} \cdot \sqrt{1 - \frac{6}{16}} \right) R^2 = \left( \frac{\sqrt{15}}{8} + \arcsin(\frac{\sqrt{6}}{4}) \right) R^2.$$

Verifichiamo infine il T. Rotore per  $S$  e per il campo  $H = (0, x, -z)$ .

$$\text{Si ha } \nabla \times H = \begin{vmatrix} e_1 & e_2 & e_3 \\ \partial_x & \partial_y & \partial_z \\ 0 & x & -z \end{vmatrix} = (0, 0, 1), \text{ dunque}$$

$$\begin{aligned} \Phi_S(\nabla \times H) &= - \int_0^{\pi/3} d\psi \int_0^1 dt \begin{pmatrix} 0 & -(1-t)R\sin\psi & -R\cos\psi \\ 0 & -tR\sin\psi & R\cos\psi \\ 1 & R\cos\psi & 0 \end{pmatrix} dt \\ &= - \int_0^{\pi/3} d\psi \int_0^1 (- (1-t)R^2 + 4\cos\psi - tR^2 - 4\cos\psi) dt \\ &= R^2 \int_0^{\pi/3} \sin\psi \cos\psi d\psi = R^2 \left( -\frac{\cos 2\psi}{4} \right) \Big|_0^{\pi/3} = -\frac{R^2}{4} \left( -\frac{1}{2} - 1 \right) = \frac{3}{8} R^2. \end{aligned}$$

Calcoliamo d'altra parte la circolazione  $\oint_{\partial S} H \cdot d\mathbf{x}$ , ovvero

si percorre in senso antiorario a partire dal punto  $(R, 0, 0)$ :

$$\begin{aligned} \oint_{\partial S} H \cdot d\mathbf{x} &= \int_0^1 (0, (1-t)R, -2) \cdot (-R, R, 0) dt + \int_0^{\pi/3} (0, 0, -2) \cdot (0, -R\sin\psi, R\cos\psi) d\psi + \\ &\quad - \int_0^1 (0, (1-t)\frac{R}{2}, -2) \cdot (-R_2, R_2, 0) dt - \int_0^{\pi/3} (0, R\cos\psi, -2) \cdot (-R\sin\psi, 0, R\cos\psi) d\psi \\ &\quad \gamma(t) = (0, (1-t)R, tR, 0) \quad \gamma(\psi) = (0, R\cos\psi, R\sin\psi) \\ &\quad \gamma(t) = (0, (1-t)\frac{R}{2}, t\frac{R}{2}, \frac{R}{2}R) \quad \gamma(\psi) = (R\cos\psi, 0, R\sin\psi) \\ &= \int_0^1 (1-t)R^2 dt + \int_0^{\pi/3} (-2R) \cos\psi d\psi - \int_0^1 \frac{R^2}{4}(1-t) dt - \int_0^{\pi/3} (-2R) \sin\psi d\psi \\ &= R^2 \left( t - t \frac{R^2}{2} \right)_0^1 - 2R (\sin 2) \Big|_0^{\pi/3} - \frac{R^2}{4} \left( t - t \frac{R^2}{2} \right)_0^1 + 2R (\sin 4) \Big|_0^{\pi/3} \\ &= \frac{R^2}{2} - R\sqrt{3} - \frac{R^2}{8} + R\sqrt{3} = \frac{3R^2}{8}, \text{ in conformità al T. Rotore.} \end{aligned}$$